

# 抗 BYDV 小麦—中间偃麦草易位系 $\alpha$ -淀粉酶 2 同工酶的研究\*

陈 孝<sup>1</sup> 辛志勇<sup>1</sup> 肖世和<sup>1</sup> 林志珊<sup>1</sup>  
钱幼婷<sup>2</sup> 徐惠君<sup>1</sup> 杜丽璞<sup>1</sup>

(<sup>1</sup>中国农业科学院作物育种栽培研究所, 北京, 100081; <sup>2</sup>中国农业科学院植物保护研究所, 北京, 100094)

**提要** 对抗大麦黄矮病毒病的普通小麦—中间偃麦草易位系 F94631 和 F94885-2 进行抗性和  $\alpha$ -淀粉酶 2 同工酶电泳图谱的研究, 证明抗性基因和控制  $\alpha$ -淀粉酶 2 形成的结构基因  $\alpha$ -Amy-Ag<sup>i</sup>2 ( $\alpha$ -Amy-X2) 均位于中间偃麦草第 7 组染色体 (7Ai-1 或 7X) 长臂上。这两个基因都呈显性遗传。 $\alpha$ -Amy-X2 控制形成二条  $\alpha$ -淀粉酶 2 特异酶带, 可认为是 7Ai-1 长臂的生化标记。经 BYDV 抗性和  $\alpha$ -淀粉酶 2 遗传分析, 推断这两个基因位点相距为约 29.4 个遗传单位。

**关键词** 中间偃麦草; 大麦黄矮病毒病(BYDV);  $\alpha$ -淀粉酶 2; 易位系; 重组率

中间偃麦草 (*Thinopyrum intermedium* 或 *Agropyron intermedium*,  $2n = 6x = 42$ ,  $E_1E_1E_2E_2XX$  或  $E_1E_1E_2E_2NN$ )<sup>[3]</sup> 含有抗大麦黄矮病毒病(BYDV)基因<sup>[1, 4]</sup>。由普通小麦 Vilmorin27 ( $2n = 6x = 42$ , AABBDD) 与中间偃麦草杂交育成的部分双二倍体 TAF46 ( $2n = 8x = 56$ ) 和二体异附加系 L<sub>1</sub> ( $2n = 44$ , 21 对小麦染色体加一对中间偃麦草染色体 7Ai-1) 都含有 7Ai-1 染色体, 该染色体短臂上有一个紫芽鞘基因, 长臂上有一个抗 BYDV 基因<sup>[1, 4]</sup>, 所以它们都抗 BYDV。Forster 报道<sup>[5]</sup>, 在 7Ai-1 长臂上有一个  $\alpha$ -淀粉酶 2 的结构基因  $\alpha$ -Amy-Ag<sup>i</sup>2。辛志勇等<sup>[1]</sup> 已成功地将 7Ai-1 长臂上的抗 BYDV 基因导入到普通小麦遗传背景中, 选育出绿芽鞘,  $2n = 42 = 21$  I 的抗 BYDV 普通小麦—中间偃麦草易位系 TC 系列和 5395 等。本试验对上述抗病易位系的  $\alpha$ -淀粉酶 2 的电泳图谱及其抗性表达的遗传特点进行研究, 并探究这两个基因位点间的关系。

## 1 材料和方法

### 1.1 供试材料

- 1) 二体异附加系 L<sub>1</sub> 及其亲本 Vilmorin27, *Th. intermedium* 和部分双二倍体 TAF46。
- 2) 抗病易位系 TC5 (Sunstar//Millewa/L<sub>1</sub>) 和 5395 (CSph×2/L<sub>1</sub>//CSN5BT5D) 的衍生系 F94631、F94885-2 (中 8601×2//中 7902/5395) 及它们的普通小麦亲本 Millewa, Sunstar, 中 8601, 中 7902 和 C. S.。
- 3) F94885-2 与感病普通小麦中 8601 杂交 F<sub>1</sub>、F<sub>2</sub> 及 BC<sub>1</sub>。

\* 国家“863”项目资助。

收稿日期: 1996-10-08, 收到修改稿日期: 1997-04-17

## 1.2 试验方法

种子在湿润滤纸上萌动发芽后 7 天(苗高 5~7 cm), 取半粒种子的胚乳, 用含有 GA3( $1 \times 10^{-5}$  M) 的乙酸钠(10 mM, pH4.8) + 氯化钙(10 mM)溶液提取  $\alpha$ -淀粉酶 2, 并在 70℃水浴锅中对  $\beta$ -淀粉酶进行钝化处理。等电点聚丙烯酰胺凝胶。具体操作程序参照 Gale<sup>[6]</sup>。带有绿苗的半粒种子 4 月 3 日移栽网室地里, 4 月 19 日用病毒蚜(二叉蚜, 病毒为 GPV 株系)接种, 6 月 15 日观察记载每株的抗病性。

## 2 结果与分析

### 2.1 $L_1$ 及其双亲的 $\alpha$ -淀粉酶 2 电泳分析

图 1 是  $L_1$  及其双亲的  $\alpha$ -淀粉酶 2 在 pH4~6, 宽 23.5 cm 凝胶上的电泳图谱。在 pH5~5.6 范围内, 中间偃麦草、TAF46 和  $L_1$  有两条共同酶带, 而普通小麦 Vilmorin27 和部分双二倍体无芒中 4 没有这两条酶带。说明控制这两条酶带形成的结构基因位于中间偃麦草的 7Ai-1 染色体上,  $\alpha$ -淀粉酶 2 可作为 7Ai-1 染色体的生化标记。无芒中 4 虽然也含有 7 对中间偃麦草染色体, 也抗 BYDV, 但它不含有 7Ai-1 染色体, 其抗性基因也不位于 7Ai-1 染色体上, 此结果与 Larkin 报道<sup>[6]</sup>无芒中 4 的抗 BYDV 基因位于中间偃麦草第 2 部分同源群的 2Ai-2 染色体的结论是吻合的。

### 2.2 抗病易位系及其双亲的 $\alpha$ -淀粉酶 2 电泳分析

图 2 是抗病易位系 F94631 及其双亲的  $\alpha$ -淀粉酶 2 在 pH4~6, 宽 10.5 cm 凝胶上的电泳图谱。F94631 同  $L_1$  和中间偃麦草一样, 共有两条特异带, 而普通小麦亲本 Millewa, Sunatar 没有。说明含有  $\alpha$ -淀粉酶 2 结构基因和抗 BYDV 基因的 7Ai-1 染色体长臂(或片断)已导入到 F94631。F94885-2 的  $\alpha$ -淀粉酶 2 电泳分析是在 pH5~6, 宽 10.5 cm 的凝胶上进行的(图 3), 结果与 F94631 一样, 显示两条  $\alpha$ -淀粉酶 2 特异带。这两条特异带在 F94885-2×中 8601 的  $F_1$  代也能显现, 说明这两条酶带呈显性遗传。

### 2.3 抗病易位系的 BYDV 抗性和 $\alpha$ -淀粉酶 2 特异带的遗传特点

F94885-2 与感病小麦品种中 8601 杂交  $F_1$  抗 BYDV。 $F_2$  代 106 株中抗病株 81, 感病株 25,  $\chi^2$  测定抗: 感比符合 3:1(表 1)。回交 BC<sub>1</sub> 102 株, 抗病株 48, 感病株 54,  $\chi^2$  测定抗: 感比符合 1:1。说明 F94885-2 所携带的抗 BYDV 基因是显性单基因, 与辛志勇<sup>[1]</sup>, Banks<sup>[4]</sup> 的报道是一致的。

表 1 (F94885-2×中 8601) $F_1$ 、BC<sub>1</sub> 抗性分离的  $\chi^2$  测定

Table 1  $\chi^2$ -test for resistance segregation in  $F_1$  and BC<sub>1</sub> from (F94885-2×Zhong8601)

世代 Generation	总株数 Total	抗病株 Resistant	感病株 Susceptible	$\chi^2$	$\chi^2_{0.05}$
$F_2$	106	81	25	0.0502	3.84
BC <sub>1</sub>	102	48	54	0.2450	3.84

F94885-2 与中 8601 杂交  $F_1$  在  $\alpha$ -淀粉酶 2 电泳图谱中能显现两条 7Ai-1 的特异带。 $F_2$  代 106 株中 73 株显现, 33 株缺失,  $\chi^2$  测定显现: 缺失比符合 3:1(表 2)。BC<sub>1</sub> 代 102 株中, 有 50 株显现, 52 株缺失,  $\chi^2$  测定显现: 缺失比符合 1:1。说明这两条特异带由同一个  $\alpha$ -淀粉酶 2 结

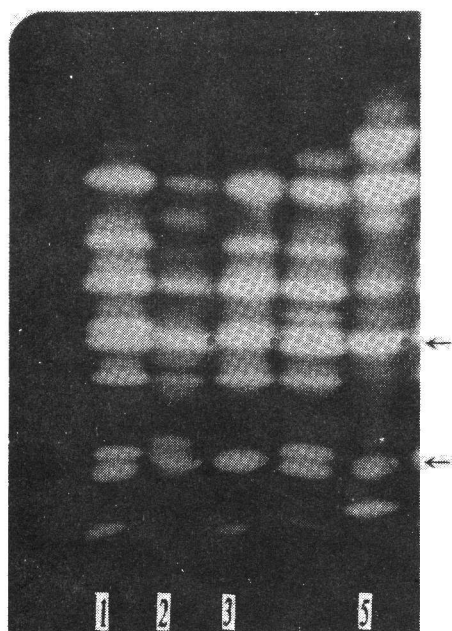


图 1  $L_1$  及其双亲  $\alpha$ -淀粉酶 2 等电点聚丙烯酰胺凝胶电泳图谱(pH4~6)

Fig. 1 Grain  $\alpha$ -Amy2 zymogram of  $L_1$  and its parents (PAGEF, pH4~6)  
1. Vilmorin 27 2. TAF46 3.  $L_1$   
4. Zhong4 awnless 5. *Th. intermedium*

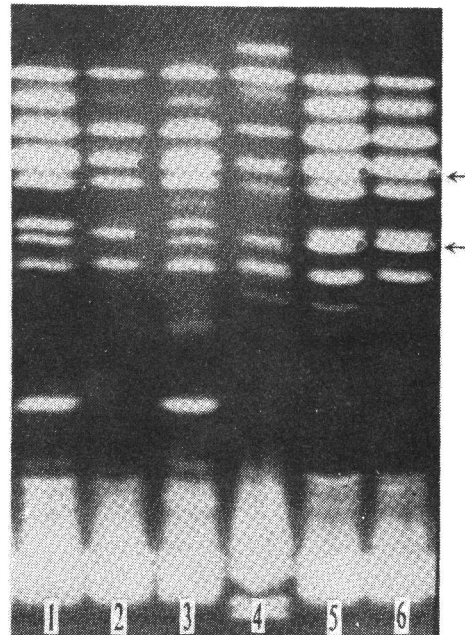


图 2 F94631 及其双亲籽粒  $\alpha$ -淀粉酶 2 等电点聚丙烯酰胺凝胶电泳图谱(pH4~6)

Fig. 2 Grain  $\alpha$ -Amy2 zymogram of  $L_1$  and its parents(PAGEF, pH4~6)  
1. Sunstar 2.  $L_1$  3. Millewa  
4. *Th. intermedium* 5~6. F94631

表 2 (F94885-2×中 8601) $F_2$ 、 $BC_1$   $\alpha$ -淀粉酶 2 特异带分离的  $\chi^2$  测定

Table 2  $\chi^2$ -test for segregation of  $\alpha$ -Amy 2 special bands in  $F_2$  and  $BC_1$  from (F94885-2×Zhong8601).

世代 Generation	总株数 Total	显现 Present	缺失 Absent	$\chi^2$	$\chi^2_{0.05}$
$F_2$	106	73	33	1.8110	3.84
$BC_1$	102	50	52	0.0098	3.84

构基因控制,该基因的遗传符合孟德尔分离定律,显现型为显性,缺失型为隐性。

#### 2.4 F94885-2 抗性基因位点与 $\alpha$ -淀粉酶 2 结构基因位点间的连锁关系

F94885-2 含有的抗性基因与  $\alpha$ -淀粉酶 2 结构基因位于 7Ai-1 染色体长臂上,根据 F94885-2×中 8601 杂种  $F_1$  同中 8601 测交后代,推知  $F_1$  的配子类型为: 抗病+特异带 34 株,抗病+缺失型 14 株,感病+特异带 16 株,感病+缺失型 38 株。重组型配子占总配子数的 29.4%,重组率(交换值)为 29.4%,说明这两个基因位点在 7Ai-1 染色体长臂上,相距为 29.4 个遗传单位。

### 3 讨论

**3.1** 中间偃麦草 7Ai-1 染色体长臂上有  $\alpha$ -淀粉酶 2 结构基因, 它能控制形成两条酶带, 这两条酶带在不同的 pH 梯度(4~6 或 5~6)和不同的凝胶宽度(10.5 cm 或 23.5 cm)的等电点聚丙烯酰胺凝胶电泳图谱中均能稳定表达, 它们的等电点约在 pH5~5.6 范围内。这两条特异酶带可作为 7Ai-1 染色体长臂的生化标记。

**3.2** 中间偃麦草的染色体组为 E<sub>1</sub>E<sub>1</sub>E<sub>2</sub>E<sub>2</sub>XX, 其中 X 染色体组是未知的, 附加系 L<sub>1</sub> 的外源染色体属于哪一组呢? Forster<sup>[5]</sup>对长穗偃麦草 (*Th. elongatum*)、脆轴偃麦草 (*Th. junceum*)、中间偃麦草 (*Th. intermedium*)、TAF46 和 L<sub>1</sub> 的酸性  $\alpha$ -淀粉酶的测定, 发现 TAF46 和 L<sub>1</sub> 缺少 7E 染色体组的特征带, 认为 TAF46 和 L<sub>1</sub> 含有的 7Ai-1 染色体为 7X。Friebe<sup>[8]</sup>通过染色体 C一分带, 进一步证明了 7Ai-1 染色体来自 X 染色体组。Banks<sup>[3]</sup>也发现 7E 与 7Ai-1 染色体在 PMC 减数分裂中期不配对。张学勇<sup>[2]</sup>用基因组原位杂交表明 TAF46 含有 4 对 E 组, 3 对 St 组染色体, BYDV 的抗性基因位于第 7 部分同源群, 并证实 7St 就是 7Ai-1, 即 7X。为此, 按照同工酶基因符号命名的法规, 我们把位于 7X 长臂上的  $\alpha$ -淀粉酶 2 的结构基因命名为  $\alpha$ -Amy-X2, 这比 Forster<sup>[5]</sup>所命名的  $\alpha$ -Amy-Ag<sup>i</sup>2 更明确。

**3.3** F94631、F94885-2 是 TC5 和 5395 的衍生系, Banks<sup>[4]</sup>用 7Ai-1 长臂上的相关探针 psr690、psr129 和 csIH81-1 对 TC5 和 5395 进行 RFLP 分析, 均能显现杂交带, 但是这些探针位点和抗性基因位点是怎样连锁尚不清楚。本研究证明  $\alpha$ -Amy-X2 基因位点与抗性基因位点在 7X 长臂上相距约 29.4 个遗传单位。

**3.4** Banks<sup>[4]</sup>发现杂合抗病易位系 TC5 和 5395 等的基因组 DNA 用 psr129 探针杂交时, 7D 带的强度比 7A 和 7B 减弱, 当用纯合抗病易位系杂交时, 7D 的带消失, 故推测这些抗病易位系可能发生在 7D-7X 之间。参照 Gale<sup>[6]</sup>  $\alpha$ -淀粉酶 2 的电泳图谱, 发现本试验中, 抗病易位系缺少 9D、13D 和 16D 酶带, 这也意味着 7D-7X 染色体之间发生了易位。

**3.5** 据 McIntosh 报道<sup>[9]</sup>, 至 1993 年, 命名的抗 BYDV 基因仅 1 个, 为 Bdv1, 它位于耐病品种 Anza 的 7D 染色体上, 它对 BYDV 的 MAV-Mex 株系具有耐病性, 并认为该基因可能来源于巴西的小麦品种弗朗塔那(Frontana)<sup>[10]</sup>。我们和澳大利亚分别用 BYDV 的 GPV 株系和 PAV 株系检测, Anza 均不抗这两种株系。而本研究供试的品系对 GPV 和 GAV 株系均表现优良的抗性, 故暂把来源于 L<sub>1</sub> 的抗病基因命名为 Bdv 2。

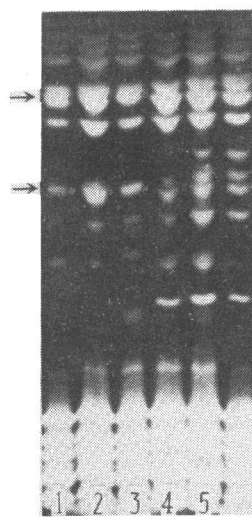


图 3 易位系 F94885-2 及其双亲, (F94885-2×Zhong8601) F<sub>1</sub> 的籽粒  $\alpha$ -淀粉酶 2 等电点聚丙烯酰胺凝胶电泳图谱(pH5~6)

Fig. 3 Grain  $\alpha$ -Amy2 zymogram of F94885-2, its parents and (F94885-2 × Zhong8601) F<sub>1</sub> (PAGEF, pH5~6)  
1. (F94885-2×Zhong8601) F<sub>1</sub>  
2. F94885-2 3. L<sub>1</sub> 4. Zhong  
8601 5. Zhong7902 6. C. S.

### 参 考 文 献

1 辛志勇、徐惠君、陈 孝等, 1991, 中国科学(B辑), 1, 36~42

- 2 张学勇, A. Koul, R. Petroski, 等, 1995, 中国的遗传学研究(1991~1994), 中国遗传学会编, p. 94
- 3 Cauderon, Y., 1958, Annales de l'Academie Internationale des Plantes 8, 389~567
- 4 Banks, P. M., P. J. Larkin, H. S. Bariana, et al., 1995, Genome, 38, 395~405
- 5 Forster, B. P., S. M. Reader, S. A. Forsyth, et al., 1987, Genet. Res. Camb., 50, 91~97
- 6 Gale, M. D., C. N. Law, A. J. Choeckli, et al., 1983, Theor. Appl. Genet., 64, 309~316
- 7 Larkin, P. J., P. M. Banks, E. S. Lagudah, et al., 1995, Genome, 38, 385~394
- 8 Friebe, B., Y. Mukai, B. S. Gill, et al., 1992, Theor. Appl. Genet., 84, 899~905
- 9 McIntosh, R. A., G. E. Hart, and M. D. Gale, 1993, Proc. of the 8th inter. Wheat Gene. Sym., p. 1396
- 10 Singh, R. P., P. A. Burnett, M. Albaran, et al., 1993, Crop Science, 33, 231~234

## Study of the $\alpha$ -Amylase 2 Isozymes of Wheat/*Th. intermedium* Translocation Lines with BYDV Resistance

Chen Xiao<sup>1</sup>    Xin Zhiyong<sup>1</sup>    Xiao Shihe<sup>1</sup>    Lin Zhishan<sup>1</sup>  
                   Qian Youting<sup>2</sup>    Xu Huijun<sup>1</sup>    Du Lipu<sup>1</sup>

<sup>1</sup> Institute of Crop Breeding and Cultivation, CAAS, Beijing, 100081;

<sup>2</sup> Institute of Plant Protection, CAAS, Beijing, 100094)

**Abstract** Two wheat/*Th. intermedium* translocation lines F94631 and F94885-2 with resistant barley yellow dwarf virus(BYDV) resistance were studied on BYDV resistance and  $\alpha$ -Amy 2 zymogram. The results showed that the BYDV resistance gene and the  $\alpha$ -Amy-X2( $\alpha$ -Amy-Ag<sup>i</sup>2) gene which controls the  $\alpha$ -Amy 2 isozymes are both located on the long arm of 7X (7Ai-1) chromosome. Both shown dominant inheritance. Two special  $\alpha$ -Amy 2 bands controlled by  $\alpha$ -Amy-X2 may be used as biochemistry markers of long arm of 7X. From the analysis of BYDV resistance and  $\alpha$ -Amy 2, the loci distance between the BYDV resistance gene and  $\alpha$ -Amy-X2 is about 29. 4 genetic units.

**Key words** *Thinopyrum intermedium*; Barley yellow dwarf virus(BYDV);  $\alpha$ -Amy 2; Translocation line; Recombination frequency